Конструирование
Производство
Дистрибуция

НПК ТЕКО - ИНН 7453019186

г. Челябинск, ул. Кислицина, 100
8 (800) 333-70-75, 8 (351) 240-84-83
sale@teko-com.ru
teko-com.ru



LR12XBN08DNOY-E2 Индуктивный датчик

Описание

LR12XBN08DNOY-E2 - Индуктивный датчик производителя Lanbao.

Датчик работает по принципу демпфирования электромагнитного поля при приближении металлического объекта к чувствительной поверхности. Это приводит к срабатыванию порогового устройства и переключению выходного сигнала.

Корпус: **Цилиндрический резьбовой**; материал — Латунь; со степенью защиты IP67; Способ установки: **Невстраиваемый**; Рабочая температура : от -25 до 70.

Электрические характеристики: 4х проводный; DC; (10 ... 30); (NO); выход — NPN; Номинальное расстояние срабатывания — 8 мм; со световой индикацией состояния.

Технические характеристики

г. Челябинск, ул. Кислицина, 100
8 (800) 333-70-75, 8 (351) 240-84-83
sale@teko-com.ru
teko-com.ru

Бренд	Lanbao
Корпус	Цилиндрический резьбовой
Материал корпуса	Латунь
Расстояние срабатывания, мм	8
Монтажное исполнение	Невстраиваемый
Диаметр резьбового корпуса, мм	M12x1
Длина цилиндрического корпуса, мм	63
Тип напряжения питания	DC
Напряжение питания, В	10 ... 30
Максимальный рабочий ток, мА	200
Количество проводов (pin)	4
Тип выходного сигнала	Дискретный
Структура выхода	NPN
Функция переключения	НО Замыкающий
Температурное исполнение	Общепромышленный
Частота переключения, Гц	500
Минимальная рабочая температура, °C	-25
Максимальная рабочая температура, °C	70
Индикация	Есть
Комплексная защита	Есть
Специальное назначение	Увеличенное расстояние срабатывания
Способ подключения	Разъем

г. Челябинск, ул. Кислицина, 100
8 (800) 333-70-75, 8 (351) 240-84-83
sale@teko-com.ru
teko-com.ru

Степень защиты	IP67
Тип разъема	Штекер M12

Дополнительная информация

Рисунок 1



г. Челябинск, ул. Кислицина, 100
8 (800) 333-70-75, 8 (351) 240-84-83
sale@teko-com.ru
teko-com.ru

Рисунок 2



г. Челябинск, ул. Кислицина, 100
8 (800) 333-70-75, 8 (351) 240-84-83
sale@teko-com.ru
teko-com.ru

Рисунок 3



Рисунок 4

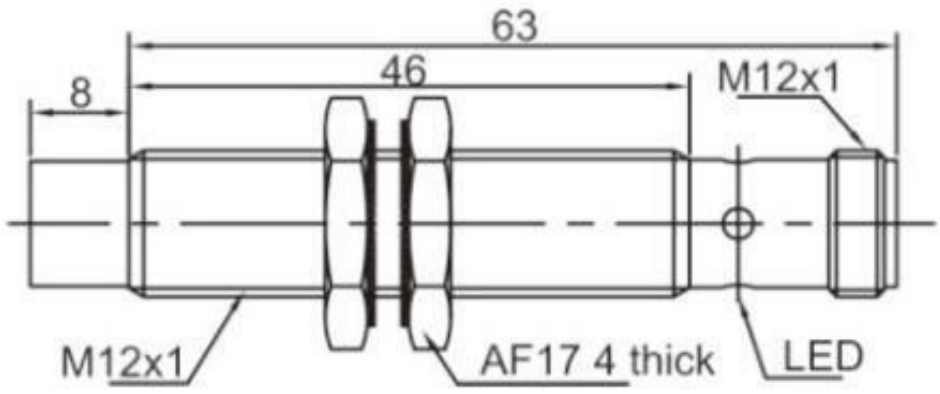


Рисунок 5

